

## 二次元噴流による洗掘進行過程の特性について

京都大学工学部 正員 中川博次  
 京都大学工学部 正員 辻本哲郎  
 日本水道コンサルタント 正員 ○藏重俊夫  
 京都大学大学院 学生員 中野晋

1. まえがき 局所洗掘現象は河川構造物の災害に関連した重要な研究課題の一つであるがそれらは三次元的な局所流況に支配され、さらに流砂、河床形状の変化が複雑に絡み合ってそれを独立して扱えないため機構解明が遅れている。本研究ではこうした複雑な現象の中でも比較的二次元性が強いもの、しかも局所洗掘に見られる基本的な特性を充分備えていると考えられる二次元水平及び鉛直噴流による洗掘について実験的に検討した。

とくに、洗掘の進行過程における形状の相似性、斜面の崩落現象等に注目し、これらの洗掘進行に及ぼす影響を考察した。

2. 水平噴流による洗掘 (1) 実験：実験は長さ2.4m、幅30.2cm、深さ65cmのアクリル製側壁を有する鋼製水平水路で行った。なお水路上流端には噴流厚を自由に調節できる噴出口が設置されており、噴出口直下流の位置から水路中央付近までを移動床部とした。実験条件は噴出口幅( $b$ )が1.4, 2.5cm、砂粒径( $d$ )が0.046, 0.116, 0.276cm、噴出流速( $U_0$ )は約40~120cm/secの範囲で、系統的実験を行った。なお水深はその影響が無視でき程度に充分深くある。

測定は最初の60秒間は水路側方からの16mm撮影により、それ以後は電気抵抗式測深器を用いて洗掘孔形状を記録した。

(2) 実験結果とその考察：まず最大洗掘深( $Z_m$ )及びその位置( $x_m$ )、洗掘孔の長さ( $l_m$ )、堆積部の高さ( $\alpha$ )及び頂点の位置( $x_\alpha$ )の各洗掘孔特性量の時間的変化に着目した。図-1は最大洗掘深の時間的変化を無次元表示したものである。これによると洗掘深は初期には時間にほぼ比例し、その後時間の平方根に比例して増加し、さらに時間が経過するにつれて緩慢な増加傾向を示している。

一方、図-2は他の特性量の時間的変化と比較した一例であるが、水平方向のステル

$l_m$ 、 $x_m$ 、 $x_\alpha$ と鉛直スケール $Z_m$ は各々異なる傾向を示すことが認められる。

図-3は水平スケールは時間の平方根に比例して増加する過程がない。このことから

従来の洗掘過程の解析がしばしば假定された洗

掘孔形状の時間的相似性は必ずしも全過程では

成立しないことが推定される。実際、水平方向及び鉛直方向

のスケールの比として $l_m/Z_m$ の時間的変化を示した図-3に

よると、初期( $U_0t/d < 4 \sim 5 \times 10^2$ ) ( $= 1\text{m} \text{sec}$ )一定値をとる

が、中期( $4 \sim 5 \times 10^2 < U_0t/d < 2 \sim 3 \times 10^3$ )において急激に

減少し、後期へ至りては再び一定値に落ち着く。このこと

は洗掘孔形状の時間的変化を示した図-4である。

図-4は洗掘孔形状の時間的変化を示すものであるが、初期・中期・後期に分けて検討すると、初期では洗掘孔が大きくなることが予想される。この三段階に分けて解析することが最も合理的である。

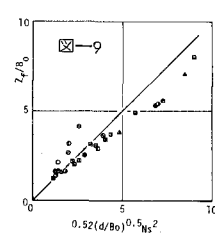
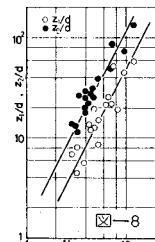
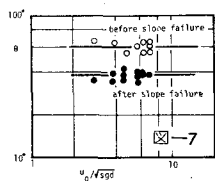
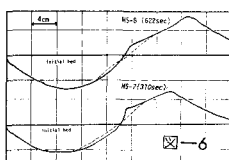
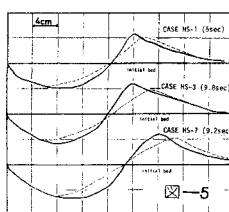
初期では洗掘孔が大きくなることが予想される。この過程では河床変化的規模も大きく流れが剥離しないことと無視できるものと考られ、流れ及び流砂の運動は初期平坦河床におけるものとほぼ同じ取り扱いができるよう。

一方中期においては、すりばち状の形状となり、最大洗掘深の位置は洗掘孔の中央となる。またこの過程は洗掘孔の発達期と言べきか、流れの相似性の効果が卓越しており、洗掘孔形状の相似性も認められない。

次に、後期に遷移すると、洗掘孔形状は再び大きくなるが、これは洗掘孔が成長するためである。

形状に相似性を保つながら緩慢な増大を続ける。またこの時期には流れも孔底に再付着するまでにかなり拡散しており、中期に比べ最大洗掘深付近はかなり平坦になっており、坑壁の洗掘孔と呼んでいる。さらに流れは堆積域頂点の手前で渦巻きとなり、それが進行過程を実験が示している。なお中期・後期のように洗掘孔下流側斜面が急になると、斜面崩壊による堆積床が横断的にならざる。中期については図-5に示されるように堆積床が数回生じ、洗掘深・堆積高さは瞬間に一旦減少する。この崩壊により最大洗掘深の位置は上流側へ、堆積部頂点は下流側へ移行し、洗掘孔の拡大が助長される。一方、後期においては図-6に示すように下流側斜面の突起部崩落が、これは規模もさく洗掘進行過程に及ぼす影響も大きい。こうした崩落現象は石井漣車の結果として生じる沈床変形や摩擦角の制約を超えて生じることを示しており、この限界値を知ることによって洗掘機構解明に重要なことを示す。これにあたりは 16mm フィルム解析を行った。

図-7 が得られた。そこでこの洗掘過程を三段階に分けてみる。その遷移点を知ることが機構解明の重要な鍵となる。図-8 は初期から中期及び中期から後期への遷移洗掘深  $Z_1, Z_2$  と Carstens によって導入された sediment number  $N_s = u_0 / (d(t-1))^{1/2}$  の関係を示すものである。この図から、ほほ次のようないくつか式が得られる。 $Z_1/d = N_s^2/2$ ,  $Z_2/d = 5N_s^3/4$  ..... (1) ～ (4) 式、  
洗掘過程の遷移は  $N_s$  と  $d$  を決まり、 $B_0$  は無関係であると推定される。このよくな



過程を経て洗掘孔は最終平衡状態に達するものと考へられる。洗掘の進行速度、遷移洗掘深等に比べ、最終洗掘深はより大きさを保つ。スケールを増やすと噴出口幅、水深に変曲点があることが分かる。実際最終洗掘深には  $B_0$  による影響となり次第に実験式と図-9参照)が得られる。 $Z_2/B_0 = 3.52(d/B_0)^{1/2} / N_s^{1/2}$  ..... (2) ここで  $Z_2$  は  $N_s$ 、 $d$  から  $B_0$  が大きい程最終洗掘深は大きくなるが、これは洗掘深というよりもむしろ堆積域を含めた洗掘孔全体の大きさの問題があるためと理解される。

3. 金直噴流による洗掘 (1) 実験：長さ 1m、幅 10cm、深さ 20cm のアクリル製水槽に 1cm × 10cm の鋼製矩形衝撃ノズルが設置された実験装置を用いた。 $d$  は 0.146, 0.276cm,  $u_0$  は 65~120cm である。またノズルから衝撃床距離をとると、これと変化の実験を行った。

(2) 実験結果とその考察：最大洗掘深の時間的変化(図-10)から、衝直噴流によく洗掘過程は初期段階と後期段階に大別される。また図-11に示す各洗掘孔半径の時間的変化から、水平スケールと金直スケールの特性が著しく異なることがわかる。前者は全過程を通じて緩やかに変化するのにに対し、後者では初期に時間に比例して顎著な増加過程が認められる。

この二つの時間的変化は図-12 に示され、初期における洗掘孔形状の時間的相似性が認められない。なお、金直噴流によく洗掘過程も斜面崩壊現象が遷移期・後期に数回観察された。

次に、遷移洗掘深については図-13 に示す通り、最終洗掘深(図-14)に示すとおり実験式(3), (4)を得た。

$$Z_1/d = 1.0 \times 10^{-2} \cdot N_s^{3/2} \quad \dots (3)$$

$$Z_2/d = 2.25 \times 10^{-2} \cdot N_s^{3/2} \quad \dots (4)$$

4. あとがき 今後洗掘孔内の流れの運動とともに砂粒運動性状と把握し、洗掘機構を明らかにしてゆきたいと思う。  
参考文献 1) Carstens : Proc. ASCE, HY, 1966.

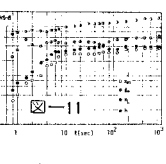


図-10

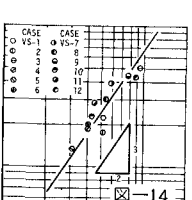


図-13

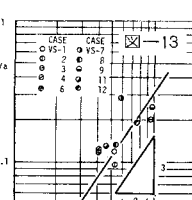


図-14